



بررسی تغییرات مکانی شاخص تمرکز بارندگی و فرسایندگی باران در استان خوزستان

حسین اسلامی

استادیار گروه علوم آب، واحد شوشتر، دانشگاه آزاد اسلامی، شوشتر، ایران، (نویسنده مسؤول: eslamyho@gmail.com)
تاریخ پذیرش: ۹۶/۶/۱۴ تاریخ دریافت: ۹۵/۵/۲۵

چکیده

تغییرپذیری بارندگی و تاثیر آن بر منابع آب یک مساله اقلیمی مهم است. تغییرات بارندگی بین ماههای سال به عنوان شاخص تمرکز بارندگی تعریف می‌شود. ویژگی دیگر بارندگی که ارتباط مستقیمی با تمرکز بارندگی دارد، فرسایندگی باران است. هدف از این تحقیق بررسی شاخص‌های تمرکز بارندگی (PCI) و فرسایندگی باران (شاخص فورنیه اصلاح شده MFI) و تهیه نقشه تغییرات مکانی آنها است. لذا با استفاده از داده‌های بارندگی ۵۵ ایستگاه هواشناسی استان خوزستان، شاخص‌های تمرکز بارندگی و فورنیه اصلاح شده محاسبه شد. به‌منظور تهیه نقشه تغییرات مکانی، اطلاعات نقطه‌ای شاخص‌ها با استفاده از روش‌های مختلف قطعی و زمین‌آماری به اطلاعات ناحیه‌ای تبدیل گردید. نتایج نشان داد که روش کریجینگ معمولی با نوع گوسی، دارای بیشترین دقت برای میان‌بابی شاخص تمرکز بارندگی است و روش کریجینگ ساده با نوع گوسی بیشترین دقت برای میان‌بابی شاخص فورنیه اصلاح شده داشته است. بر اساس نقشه تغییرات مکانی شاخص تمرکز بارندگی بیشترین مقادیر شاخص تمرکز بارندگی در جنوب منطقه مورد مطالعه دیده می‌شود و کمترین مقادیر در شمال و شمال شرق استان خوزستان وجود دارد. شاخص تمرکز بارندگی از ۲۰ تا ۳۱ متغیر است که در شمال شرق استان خوزستان بیشترین مقدار و در جنوب و جنوب غربی کمترین مقدار را داراست. بطور کلی بارندگی در استان خوزستان محدود به چند ماه بوده و پراکنش یکنواختی ندارد.

واژه‌های کلیدی: میان‌بابی، تمرکز بارندگی، فورنیه اصلاح شده، زمین‌آمار

است. این ویژگی در واقع پتانسیل باران برای فرسایش خاک را نشان می‌دهد.

فرسایش خاک یک مشکل مهم اجتماعی و اقتصادی و یک عامل ضروری در ارزیابی سلامتی و کارکرد اکوسیستم است. برای اتخاذ تصمیم مناسب به منظور کنترل فرسایش و کاهش اثرات آن، شناخت عوامل مؤثر و برآورد صحیح از میزان تلفات خاک بسیار مهم است. یکی از مهم‌ترین عوامل مؤثر بر فرسایش خاک، باران است.

تمرکز بارندگی در دوره خاص مانند سالانه و فصلی اثر مستقیمی بر فرسایندگی باران دارد. فرسایندگی باران در جایی که مقادیر بالای تمرکز بارندگی و بارندگی کل سالانه وجود دارد، شدیدتر است^(۷).

فرسایندگی باران به عنوان پتانسیل باران برای فرسایش خاک تعریف می‌شود و تابعی از خصوصیات بارندگی می‌باشد^(۸).

خلیلی و همکاران^(۱۵) شاخص تمرکز بارش را در ۳۴ ایستگاه سینوپتیک در دوره ۱۹۶۱-۲۰۱۰ محاسبه و روند تغییرات آن در دو مقیاس سالانه و فصلی مورد ارزیابی قرار دادند. نتایج پنهان‌بندی شاخص مورد نظر در مقیاس سالانه نشان داد که پراکندگی بارندگی در دو زیر بازه ۲۵ ساله از الگوی یکسان پیروی می‌کند همچنین براساس نتایج حاصله، شاخص در مناطق مرکزی و جنوبی کشور نشان دهنده وجود بی نظمی زیاد بوده و در هیچ یک از ایستگاه‌های مورد مطالعه، تمرکز یکنواخت شاخص دیده نشد. همچنین در ۵۰ درصد ایستگاه‌ها روند افزایشی در مقدار شاخص دیده شد.

دی لویس و همکاران^(۷) در ایسرين پنیسولای اسپانیا شاخص تمرکز بارش (PCI) و شاخص فورنیه اصلاح شده

مقدمه

خصوصیات بارش مانند مقدار، تغییرپذیری، توزیع و فرسایندگی آن در منابع آب و مدیریت آن اهمیت زیادی دارند. معیارهای تغییرپذیری متوسط تاثیر مهمی بر منابع آب دارد به طوریکه هرچه تغییرپذیری بیشتر، مدیریت منابع آبی مشکلتر و گرانتر می‌شود^(۶).

تیپ شناسی خاک و شدت فرآیندهای ژئومرفولوژیکی^(۵) تولید رواناب (۲۶) زمان‌بندی و بزرگی جریانات در حوزه‌های بزرگ (۱۷) و بیلان آبی حوزه‌های درجه اول (۱۰) می‌تواند بوسیله تغییرپذیری بارندگی تحت تاثیر قرار گیرند.

تغییرپذیری بارندگی می‌تواند در زمان یا مکان اتفاق بیفتد. تغییرپذیری زمانی بارندگی هم مشتمل بر روند و تغییرات طولانی مدت بارندگی است و هم شامل تغییرات بارندگی درون سالی در ماههای مختلف می‌گردد. تغییرپذیری درون سالی بالا نشان دهنده شرایط اقلیمی خشک می‌باشد. تغییرات درون سالی بارندگی به عنوان شاخص تمرکز بارندگی^(۱) (PCI) شناخته می‌شود.

شاخص‌های مستقیمی برای ارزیابی تمرکز بارندگی وجود دارد که می‌تواند برای تامین اطلاعات تغییرپذیری و آنالیز و درک فرآیندهای هیدرولوژیکی بکار برود^(۲). شاخص‌های مختلفی به این منظور بکار رفته و ازین‌ها شاخص PCI^(۲۱) پیشنهاد می‌شود، چرا که اطلاعاتی برمنای تغییرپذیری طولانی مدت در مقدار بارش دریافتی فراهم می‌کند^(۲۸). اولیور^(۲۱) با تعییر و اصلاح شاخص تنوع استخدام^۳ گیبس - مارتین، شاخص PCI را ارائه کرد که مشخص کننده تمرکز ماهانه بارندگی در یک مقیاس است. ویژگی دیگر بارندگی که ارتباط تنگاتنگی با تمرکز بارندگی دارد، فرسایندگی باران

بارندگی عموماً در پاییز و زمستان اتفاق می‌افتد و این بارندگی در زمان و مکان متغیر است و در این تحقیق که با هدف بررسی شاخص‌های تمرکز بارندگی و فرسایندگی باران و تخمین مکانی آنها و تهیه نقشه صورت می‌گیرد، روش‌های مختلف زمین‌آماری و غیر زمین‌آماری مورد بررسی قرار گرفته و بهترین روش میان‌بایی نیز مشخص می‌گردد.

مواد و روش‌ها منطقه مورد مطالعه

استان خوزستان با مساحت ۶۴۰۵۷ کیلومتر مربع در جنوب غربی ایران در کرانه خلیج فارس و اروندرود، در محدوده ۴۷ درجه و ۴۲ دقیقه تا ۵۰ درجه و ۳۹ دقیقه طول شرقی و ۲۹ درجه و ۵۸ دقیقه تا ۳۲ درجه و ۵۸ دقیقه شمالی قراردارد (شکل ۱). دو پنجم کل مساحت استان را مناطق کوهستانی و سه پنجم آن را مناطق جلگه‌ای تشکیل داده است. خوزستان با حجم وروودی بیش از ۳۳ میلیارد مترمکعب آب در سال و دارای بودن ۳ میلیارد مترمکعب آب ذخیره شده در سفره‌های آب زیرزمینی، از موقعیت ممتازی در کشور برخوردار است. استان خوزستان علیرغم داشتن تنها ۴ درصد از مساحت کشور، بیش از ۳۰ درصد از آب‌های سطحی کشور را در خود جای داده است.

کارون، بزرگترین و پرآبترین رود ایران، در استان خوزستان جاری است. میانگین بارش سالانه استان از ۱۵۰ میلی‌متر در جنوب غربی تا حدود ۱۰۰۰ میلی‌متر در شمال شرقی متغیر است. متوسط بارندگی سالانه در استان حدود ۲۲۶ میلی‌متر و دوره بارندگی معمولاً بین مهر ماه تا اردیبهشت ماه است. فصل گرما در این استان از اردیبهشت آغاز می‌شود و تا مهر ماه ادامه دارد. متوسط درجه حرارت در این دوره $31\frac{1}{2}$ درجه و متوسط درجه حرارت در زمستان $14\frac{9}{9}$ درجه سانتی گراد می‌باشد. شمال و شمال شرق استان تحت تأثیر آب و هوای کوهستانی قرار دارد و دارای زمستان نسبتاً سرد، پرپارش و تابستان معتدل است. بخش کوهپایه‌ای استان دارای آب و هوای نیمه خشک است. سایر مناطق استان در جنوب و غرب تحت تأثیر آب و هوای گرم و خشک قرار دارند. در این مناطق به دلیل ارتفاع کم، دمای هوا و میزان تبخیر افزایش می‌باید اما مقدار بارش کمتر می‌شود. زمستان کوتاه و معتدل و تابستان بسیار گرم و طولانی از ویژگی‌های این نوع آب و هواست. در این تحقیق آمار بارندگی ماهانه و سالانه مورد استفاده از دو سازمان هواشناسی و آب و برق استان خوزستان جمع‌آوری شده‌اند.

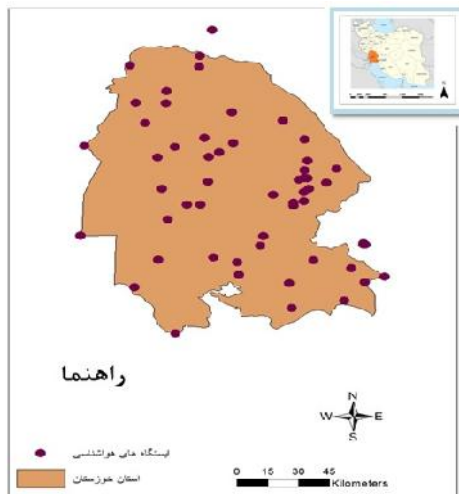
دوره آماری ایستگاه‌ها با توجه به تامیس در سال‌های مختلف، از سال تاسیس تا سال ۱۳۹۳ بود. برای باز سازی و رفع نواقص آماری از روش همبستگی استفاده شد. در نهایت ۵۳ ایستگاه هواشناسی انتخاب شد که مشخصات ایستگاه‌های انتخابی در جدول ۱ نشان داده شده است.

(MFI) را مورد بررسی قرار دادند و به این نتیجه رسیدند که اگرچه کاهش‌هایی در بارش سالانه وجود داشته اما افزایش‌هایی هم در تمرکز بارش دیده شده است و تغییرات مکانی این روندهای زیاد است و تغییرات در فرسایندگی باران الگوی مکانی پیچیده‌ای را نشان می‌دهد و بطور کلی کاهش در فرسایندگی باران در شرایط نیمه خشک مشخص گردید. در حالی که افزایش‌ها عمدها در نواحی خشک و نیمه مرطوب اتفاق می‌افتد.

ری و همکاران (۲۲) توزیع و فرسایندگی باران در منطقه لس اندس در ونزوئلا را با آنالیز دادهای بارندگی ماهانه از ۵۶ ایستگاه هواشناسی ارزیابی نمودند. ساختن فورنیه اصلاح شده MFI و شاخص تمرکز بارندگی PCI به ترتیب برای تعیین و ارزیابی فرسایندگی باران و توزیع باران محاسبه شدند. برای ترسیم و توضیح تغییرات مکانی شاخص‌ها روش میان‌بایی کریجینگ انجام شد. نتایج نشان داد که ناحیه تحت مطالعه فرسایندگی باران زیاد و بسیار زیادی در بیش از $\%70$ کل منطقه دارد در حالی که توزیع باران نسبتاً فصلی بود. شای و همکاران (۲۴) تغییرات الگوهای زمانی مکانی بارندگی و تاثیر آن بر خطر سیل و خشکسالی را با استفاده از روند بارندگی سالانه و شاخص PCI در جنوب غرب چین بررسی نمودند.

قائم و مگنونیف (۱۱) الگوهای زمانی مکانی تمرکز بارندگی را در ۲۰ ایستگاه در دوره ۱۹۶۸-۲۰۱۳ در حوزه $20\frac{1}{2}$ کیلومتر در شمال شرقی الجزایر بررسی نمودند. نتایج نشان دهنده فصلی رو به نظمی شاخص تمرکز بارندگی داشت. همچنین روند مشتبه هرچند خیلی کوچک از نظر معنی‌داری در شاخص تمرکز بارندگی مشاهده گردید. بررسی تغییرات زمانی و مکانی بارش و شناخت روندهای معنی‌دار افزایشی، کاهشی و یا ثبات آن از اهمیت بالایی برخوردار است و با توجه به ویژگی‌های خاص مکانی (موقعیت جغرافیایی و شرایط توپوگرافی)، در هر منطقه، انطباق و با هم‌بینی تغییرات مکانی و زمانی و تهیه نقشه آن، کمک شایانی به برنامه‌ریزان محیطی برای برنامه‌ریزی‌های جامع تر خواهد نمود. بررسی تغییرات مکانی از طریق تعیین دادن خصوصیات نقطه‌ای به کل یک منطقه امکان‌پذیر است و این کار از طریق استفاده از روش‌های میان‌بایی میسر است. روش‌های مختلفی برای میان‌بایی داده‌ها وجود دارند که از میان آن‌ها می‌توان به روش‌های اسپلاین، معکوس فاصله وزن‌دار، روش‌های رگرسیونی، روش‌های زمین‌آماری و ... اشاره نمود.

در روش‌های درون‌بایی سنتی، نتایج بدست آمده از اندازه‌گیری نمونه‌ها مستقل از موقعیت فضایی آن‌ها مورد تحلیل و بررسی قرار می‌گیرد. در حالیکه در زمین‌آمار علاوه بر مقدار یک کمیت معین در یک نمونه، موقعیت فضایی نمونه نیز مورد توجه قرار می‌گیرد (۱۴). در استان خوزستان



شکل ۱- موقعیت جغرافیایی استان خوزستان و ایستگاه‌های هواشناسی
Figure 1. Location of Khouzestan Province and meteorological stations

جدول ۱- مشخصات ایستگاه‌های هواشناسی استان خوزستان

Table 1. Characteristics of meteorological stations of Khouzestan Province

نام ایستگاه	خط طولی (درجه)	عرض جغرافیایی (درجه)	متوسط بارندگی سالانه (mm)	نام ایستگاه	خط طولی (درجه)	عرض جغرافیایی (درجه)	متوسط بارندگی سالانه (mm)	نام ایستگاه	خط طولی (درجه)	عرض جغرافیایی (درجه)	متوسط بارندگی سالانه (mm)
آب شیرین	۵۰°۲۵'	۳۰°۳۰'	۳۴۰	در خربنه	۴۸°۵۹'	۳۱°۵۴'	۲۸۴	آهواز	۴۸°۴۱'	۳۲°۴۹'	۹۰۱
ابدک	۵۰°۹۳'	۳۰°۵۵'	۶۴۵	تله زنگ	۴۸°۴۶'	۳۲°۴۹'	۲۵۰	حرمله	۴۸°۴۶'	۳۱°۵۷'	۲۵۰
ایذه	۴۹°۵۱'	۳۱°۴۸'	۶۲۶	ملا ثانی	۴۸°۵۲'	۳۱°۳۵'	۲۳۸	دارخون	۴۹°۴۸'	۳۰°۴۴'	۱۶۰
بارانگرد	۴۹°۴۸'	۳۱°۴۳'	۶۵۸	فارسیات	۴۸°۳۰'	۳۱°۱۰'	۱۸۰	مال آقا	۴۸°۲۵'	۳۱°۳۵'	۷۸۸۳
لای	۴۹°۰۵'	۳۲°۰۹'	۴۶۱	چشم شیرین	۴۹°۴۹'	۳۱°۳۸'	۶۱۷	چوکنک	۴۸°۲۲'	۳۱۰۲'	۳۳۰
سد در	۴۸°۲۶'	۳۲°۳۲'	۵۰۱	سد سادات	۴۹°۴۹'	۳۱۰۲'	۳۹۲	سادات	۴۸°۲۵'	۳۱۰۲'	۳۷۵
چم گز	۵۳°۴۹'	۳۲۰۵'	۲۳۹	چم نظام	۴۹°۰۵'	۳۰۰۴۵'	۲۱۹	مشراکه	۴۸°۳۵'	۳۱۰۰'	۱۷۵
عبدالخان	۴۸°۲۲'	۳۱۰۴'	۲۷۶	کمب جراحی	۴۹°۱۱'	۳۰۰۴۳'	۲۳۸	رامشیر	۴۸°۴۵'	۳۰۰۵۴'	۲۳۸
حمدیه	۴۸°۰۵'	۳۱۰۲'	۹۶۵	گرگر	۴۸°۵۷'	۳۰۰۴۶'	۲۱۲	ماهشهر	۴۸°۳۵'	۳۰۰۳۵'	۲۵۱
پل شالو	۵۰°۰۷'	۳۱۰۴۳'	۲۵۹	ماهشهر	۴۹°۱۲'	۳۰۰۳۵'	۲۵۶	میداود	۴۸°۵۳'	۳۱۰۲۳'	۳۶۶
سد شهید عیاسپور	۴۹°۰۳۵'	۳۱۰۱۹'	۵۷۶	زیدون سردشت	۴۹°۰۱۳'	۳۰۰۱۹'	۳۰۹	زیدون سردشت	۴۸°۵۳'	۳۰۰۱۹'	۳۰۹
گوند	۴۸°۴۸'	۳۱۰۱۴'	۲۵۶	هندیجان	۴۹°۰۴۳'	۳۰۰۱۴'	۲۱۱	پا قلسه	۴۹°۴۱'	۳۰۰۰۵'	۵۸۹
تگ پنج بختیاری	۴۸°۰۲۵'	۳۱۰۰۹'	۲۱۵	پای پل	۴۸°۰۲۵'	۳۰۰۰۵'	۹۵۰	سوسن	۴۹°۰۲۴'	۳۲۰۰۳'	۲۹۸
درزفول	۴۸°۰۲۶'	۳۱۰۰۸'	۳۷۱	خرمشهر	۴۸°۰۱۰'	۳۰۰۰۶'	۱۶۲	شوش	۴۸°۰۲۳'	۳۲۰۰۱۲'	۳۰۳
عرب حسن	۴۸°۰۵۳'	۳۱۰۰۳'	۳۹۱	سپید دشت	۴۸°۰۱۵'	۳۲۰۰۱۲'	۶۳۲	قلعه تل	۴۸°۰۵۱'	۳۱۰۰۳۸'	۵۰۷
با غملک	۴۹°۰۵۳'	۳۱۰۰۳'	۳۱۶	سپید دشت	۴۸°۰۵۳'	۳۳۰۰۱۳'	۲۱۱	پل چال	۴۸°۰۵۰'	۳۲۰۰۰۰'	۲۱۱
مائشین	۴۹°۰۴۰'	۳۱۰۰۲'	۳۷۹	سیل	۴۸°۰۱۰'	۳۲۰۰۰۰'	۲۱۱	بوزی شادگان	۴۹°۰۲۴'	۳۲۰۰۰۰'	۹۵۰
سد شهدابنده	۵۰°۰۱۷'	۳۰۰۰۰۰'	۲۸۴	شوش	۴۸°۰۱۵'	۳۲۰۰۰۰'	۲۱۱	دلی بختیار	۴۹°۰۴۶'	۳۲۰۰۰۰'	۲۹۸
مه	۴۹°۰۴۱'	۳۰۰۰۰۰'	۳۱۲	قلعه تل	۴۸°۰۱۰'	۳۲۰۰۰۰'	۲۱۱	هفت تپه	۴۸°۰۳۱'	۳۲۰۰۰۰'	۱۶۲
پتوند	۴۹°۰۰۷'	۳۲۰۰۰۰'		سیل	۴۸°۰۱۵'	۳۳۰۰۰۰'	۲۱۱	پل چال	۴۸°۰۳۱'	۳۲۰۰۰۰'	۳۰۳
شوستر	۴۸°۰۵۱'	۳۲۰۰۰۰'		سیل	۴۸°۰۱۰'	۳۳۰۰۰۰'	۲۱۱	بتوند	۴۸°۰۰۷'	۳۲۰۰۰۰'	۶۳۲

PCI برابر با $8/3$ است که نشان دهنده همگنی کامل در توزيع بارندگی است و بارندگی بطور مساوی در همه ماهها اتفاق می‌افتد.

شاخص فرسایندگی باران فورنیه اصلاح شده
فورنیه با بررسی داده‌های 78 حوزه آبخیز رابطه مستقیمی را بین میانگین سالانه رسوب و نسبت p_m^2/p بدست آورد. این نسبت اصطلاحاً شاخص فورنیه نامیده می‌شود. یکی از اشکالات شاخص فورنیه این است که توزيع ماهانه بارندگی را در سال در نظر نمی‌گیرد به همین دلیل اگر تعداد بارندگی‌های فرسایش‌زا در سال افزایش یابد مقدار این شاخص تغییر نمی‌کند. به منظور رفع این اشکال آرنولدوس (۳) شاخص فورنیه را به صورت زیر اصلاح نمود:

$$MFI = \frac{\sum_{i=1}^{12} p_i^2}{\sum_{i=1}^{12} p_i} \quad (2)$$

که در آن MFI شاخص فورنیه اصلاح شده (میلی‌متر)، p_i متوسط بارندگی برای ماه i (میلی‌متر) و P متوسط بارندگی سالانه (میلی‌متر) است (۳). در جدول ۲ طبقه‌بندی شاخص فورنیه اصلاح شده ارائه شده است.

Table 2. MFI classification

حدود	شرح	کلاس
< 60	خیلی کم	۱
$60 - 90$	کم	۲
$90 - 120$	متوسط	۳
$120 - 160$	زیاد	۴
> 160	خیلی زیاد	۵

بهترین تخمین‌گر خطی نا اربی شناخته می‌شود. از مهم‌ترین ویژگی‌های کریجینگ این است که به ازای هر تخمین خطای مرتبط با آن را می‌توان محاسبه کرد. بنابراین برای هر مقدار تخمین زده شده، می‌توان دامنه اطمینان آن تخمین را محاسبه نمود. در حالیکه روش‌های کلاسیک این کارایی را ندارد (۴). در روش کریجینگ برای تخمین نقاط مجھول از رابطه زیر استفاده می‌شود:

$$V^*(x_0) = W_i V(x_i) \quad (4)$$

$V^*(x_0)$ مقدار تخمینی متغیر تصادفی در نقطه مجھول، $V(x_i)$ مقدار متغیر تصادفی در نقطه معلوم و W_i وزن اختصاصی یافته به هر داده است.

برای انتخاب مناسبترین روش میان‌یابی از روش ارزیابی متقابل^۱ استفاده می‌شود. در این روش در هر مرحله یک نقطه مشاهدهای حذف و با استفاده از بقیه نقاط مشاهدهای، آن نقطه برآورد می‌شود. برای ارزیابی میزان دقت و خطای معيارهای RMSE و MAE استفاده می‌شود که عبارتند از:

$$RMSE = \sqrt{\frac{\sum_{i=1}^n [Z^*(x_i) - Z(x_i)]^2}{n}} \quad (7)$$

$$MAE = \frac{1}{n} \sum_{i=1}^n |(Z^*(x_i) - Z(x_i)| \quad (8)$$

شاخص تمرکز بارندگی
اویور (۲۱) با تغییر و اصلاح شاخص تنوع اشتغال گیس-مارتن^۱، شاخص تمرکز بارندگی (PCI) را ارائه کرد که مشخص‌کننده تمرکز ماهانه بارندگی در یک مقیاس است (۲۱). شاخص تمرکز بارندگی بوسیله دی لویس و همکاران (۹) اصلاح و مورد استفاده قرار گرفت که شامل:

$$PCI = \frac{\sum_{i=1}^{12} p_i^2}{(\sum_{i=1}^{12} p_i)^2} \quad (1)$$

p_i : مقدار بارش ماه i است. اگر این فرمول در 100 ضرب شود، اویور (۲۱) نتیجه گیری می‌کند که شاخص تمرکز بارندگی با مقدار کمتر از 10 یک توزيع بارندگی یکنواخت را نشان می‌دهد، مقادیر 11 تا 15 به یک توزيع نسبتاً فصلی اختصاص می‌یابد و مقادیر 15 تا 20 دارای توزيع فصلی بوده و مقادیر شاخص بیشتر از 20 نشان دهنده اثرات شدید فصلی با مقادیر فرازینده نشانگر تمرکز بارندگی ماهانه افزایشی است (۶). این شاخص از کمتر از 10 تا 100 متغیر است و قیمت همه بارندگی سال فقط در یک ماه اتفاق بیفتد مقدار شاخص PCI برابر با 100 خواهد بود. کمترین مقدار تئوری شاخص

جدول ۲- درجه‌بندی شاخص فورنیه اصلاح شده

شاخص فورنیه اصلاح شده و شاخص تمرکز بارندگی با استفاده از بارندگی ماهانه محاسبه می‌شود و اصولاً شاخص فورنیه اصلاح شده به عنوان حاصلضرب کل بارندگی سالانه (P_i) در شاخص تمرکز بارندگی بیان می‌شود (۳):

$$MFI = P_i \cdot PCI$$

بر طبق این رابطه فرسایندگی باران جاها یکه مقادیر بالای تمرکز بارندگی و بارندگی کل سالانه وجود دارد، شدیدتر است (۷).

رووش‌های میان‌یابی
رووش‌های میان‌یابی به دو دسته کلی قطبی و زمین‌آماری تقسیم‌بندی می‌گردد. از دسته اول رووش‌های توابع شعاعی پایه و عکس فاصله وزن‌دار و از دسته اول روشن‌های کریجینگ و کوکریجینگ انتخاب شدند. در روش توابع شعاعی پایه از توابع ریاضی برای حداقل سازی اتحنا و نوسانات سطحی متغیر استفاده می‌شود. پارامترهای توابع ریاضی مورد استفاده به نحوی تنظیم می‌شوند که سطح کلی برآورد شده با دارا بودن حداقل اتحنا از نقاط اندازه‌گیری شده عبور کند. در روش عکس فاصله وزن‌دار، وزن تابعی از عکس فاصله است و نقاط نزدیک‌تر تأثیر بیشتری در برآورد نقطه مجھول دارند.

کریجینگ یک روش تخمین است که بر منطق میانگین متحرک وزن‌دار استوار می‌باشد. این تخمین‌گر به عنوان

ارائه گردیده است. ضریب چولگی در هر دو مورد زیر یک می باشد و با توجه به کم بودن چولگی و آزمون کلموگراف اسپیرنوف هر دو شاخص از توزیع نرمال تعیت می کند. لازم به ذکر است که شرط نرمال بودن دادها فقط برای روش های درون یابی زمین آماری بوده و برای روش های معکوس فاصله وزنی و توابع پایه شعاعی شرط نمی باشد.

پس از محاسبه شاخص ها در هر ایستگاه به شکل نقطه ای، برای تهیه نقشه های منطقه ای، نیاز به درون یابی اطلاعات نقطه ای و تبدیل به اطلاعات ناحیه ای می باشد. در این تحقیق از روش های معکوس فاصله وزن دار، توابع شعاعی پایه و روش زمین آماری کریجینگ معمولی و کریجینگ ساده استفاده گردید. نتایج ارزیابی روش های مختلف میان یابی برای تهیه نقشه شاخص ها در جداول ۴ و ۵ ارائه شده است. با توجه به RMSE و MAE میان یابی شاخص ها روش کریجینگ ساده از نوع گوسی کمترین خطای را در میان یابی شاخص فورنیه اصلاح شده داشته است. همچنین جدول ۵ نشان می دهد که روش کریجینگ معمولی با مدل گوسی بیشترین دقت برای میان یابی شاخص تمرکز بارندگی را داراست. بطور کلی روش زمین آماری نتایج بهتر و دقیق تری در میان یابی شاخص ها ارائه کرده است.

MAE میانگین قدر مطلق خطای RMSE ریشه دوم میانگین مربع خطای Z^* مقادیر برآورده شده متغیر x در نقطه i ($Z(x_i)$) مقادیر مشاهده شده متغیر x در نقطه i و n تعداد متغیر مشاهده شده است که هر اندازه این معیارها به صفر نزدیک تر باشند نشان دهنده اختلاف کمتر مقادیر برآورده نسبت به مقادیر مشاهده ای است.

نتایج و بحث

در این تحقیق برای بررسی فرسایندگی باران و شاخص تمرکز بارندگی در استان خوزستان از نظر مکانی و ارائه نقشه در استان خوزستان ابتدا شاخص فرسایندگی باران (PCI) فورنیه اصلاح شده (MFI) و شاخص تمرکز بارندگی (PCI) در ایستگاه های هواشناسی محسوبه گردید. سپس با استفاده از روش های میان یابی این شاخص ها در تمام ایستگاه ها میان یابی گردید. در نهایت با ارزیابی روش های نقشه هم فرسایندگی و نقشه شاخص تمرکز بارندگی در استان تهیه شد. شاخص های PCI و MFI با استفاده از روابط و روش های ذکر شده مورد محاسبه قرار گرفتند. آماره های توصیفی شاخص های PCI و MFI در ایستگاه های هواشناسی در طی دوره آماری ابتدای تاسیس ایستگاه تا سال ۱۳۹۳ در جدول ۳

جدول ۳- آماره های توصیفی شاخص های PCI و MFI در ایستگاه های هواشناسی

Table 3. Descriptive statistics of PCI and MFI indices of meteorological stations

متغیر	میانگین	انحراف معیار	ضریب تغییرات (%)	حداقل	حداکثر	چولگی	کشیدگی
PCI	۲۵/۹	۲/۷	۱۰/۴	۲۰/۱	۳۱/۲	.۰۶	۲/۵
MFI	۱۱۱/۴	۴۴/۶	۴۰	۴۹/۲	۲۲۴/۴	.۰۸۳	۲/۶

جدول ۴- نتایج ارزیابی روش های میان یابی برای شاخص فورنیه اصلاح شده

Table 4. Results of interpolation methods evaluation for MFI index

روش میان یابی	روش زمین آماری	توابع شعاعی پایه	روش های قطعی
کریجینگ ساده	کریجینگ معمولی		
Thin plate spline			
IDW1			
IDW2		عکس فاصله وزن دار	
IDW3			

جدول ۵- نتایج ارزیابی روش های میان یابی برای شاخص تمرکز بارندگی

Table 5. Results of interpolation methods evaluation for PCI index

روش میان یابی	روش زمین آماری	توابع شعاعی پایه	روش های قطعی
کریجینگ ساده	کریجینگ معمولی		
Thin plate spline			
IDW1			
IDW2		عکس فاصله وزن دار	
IDW3			

روش کریجینگ ساده و معمولی در جدول ۶ ارائه شده است. نسبت اثر قطعه‌ای به آستانه یا درصد خطای اندازه‌گیری در کریجینگ ساده نوع گوسی $26/3$ درصد و در کریجینگ معمولی نوع گوسی 52 درصد می‌باشد که خطای نسبتاً متوجه است (جدول ۶). این اعداد نشان دهنده همیستگی مکانی متوجه و ضعیف به ترتیب برای روش‌های کریجینگ ساده و معمولی می‌باشد.

در این تحقیق از روش‌های زمین‌آماری کریجینگ معمولی و کریجینگ ساده در چهار نوع، جهت میان‌بابی استفاده شد. به منظور استفاده از این روش ابتدا باید عملیات واریوگرافی انجام گیرد و مدل مناسب تقویت به واریوگرام‌های تجربی برآشن یابد و سپس با توجه به مدل مناسب برآش یافته میان‌بابی انجام گیرد. مدل‌های مورد بررسی شامل دایره‌ای، کروی، نمائی و گوسی است. مشخصات مدل برآش داده شده بر تغییر نمای تجربی شاخص فورنیه اصلاح شده در

جدول ۶- مشخصات مدل برآش داده شده بر داده‌های شاخص فورنیه اصلاح شده

Table 6. Characteristics of fitted model on MFI index

خطای اندازه‌گیری (درصد)	اثر قطعه‌ای	آستانه	شاعر تاثیر (متر)	روش میان‌بابی	مدل برآش یافته
۳۷	۸۷/۰۹۳	۹۸۳/۱۳	۱۰۶۸۳۶	کریجینگ معمولی	دایره‌ای
۳۷/۲	/۷۷	۰/۹۵	۱۶۸۴۰	کریجینگ ساده	
۳۲	۷۰..۰/۴۴	۱۴۸۵/۸۸	۱۶۱۱۹۱	کریجینگ معمولی	کروی
۲۷/۴	۰/۷۷۵	۰/۹۰۱	۱۹۵۴۹۷	کریجینگ ساده	
۲۵/۳	۶۳۵/۷۷۴	۱۹۳۴/۷۶	۳۶۱۸۸	کریجینگ معمولی	نمای
۳۲	۰/۷۸۶	۰/۸۲۱	۳۶۱۸	کریجینگ ساده	
۵۲	۷۶۹/۰۵۳	۷۹/۹۷۳	۶۴۰۰۷	کریجینگ معمولی	گوسی
۲۶/۳	۰/۷۷۴	۰/۷۶۹	۱۱۷۲۷۵	کریجینگ ساده	

و در کریجینگ معمولی نوع گوسی $۴۴/۵$ درصد می‌باشد که خطای نسبتاً متوجه است (جدول ۷). این اعداد نشان دهنده همیستگی مکانی متوجه برای روش‌های کریجینگ ساده و معمولی می‌باشد.

مشخصات مدل برآش داده شده بر تغییر نمای تجربی شاخص تمرکز بارندگی در روش کریجینگ ساده و معمولی در جدول ۷ ارائه شده است. نسبت اثر قطعه‌ای به آستانه یا درصد خطای اندازه‌گیری در کریجینگ ساده نوع گوسی $۴۴/۳$ درصد

جدول ۷- مشخصات مدل برآش داده شده بر داده‌های شاخص تمرکز بارندگی

Table 7. Characteristics of fitted model on PCI index

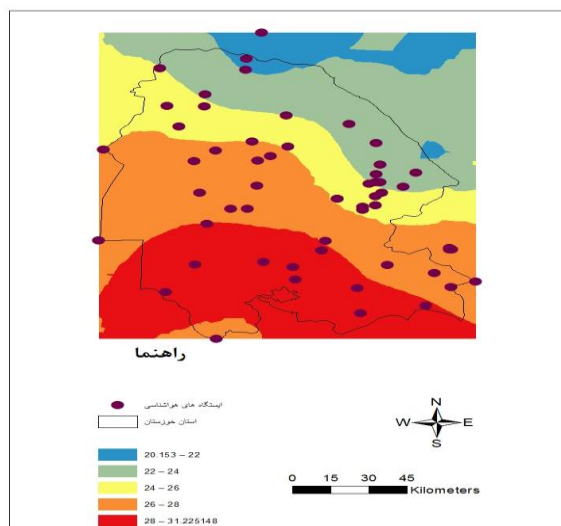
خطای اندازه‌گیری (درصد)	اثر قطعه‌ای	آستانه	شاعر تاثیر (متر)	روش میان‌بابی	مدل برآش یافته
۵۳/۵	۳/۵۲۴	۲/۶	۱۵۵۹۷۳	کریجینگ معمولی	دایره‌ای
۴۴/۵	۰/۴۱۴	۰/۵۳۷	۱۶۶۸۳	کریجینگ ساده	
۵۳/۴	۳/۸۷۴	۳/۲۷۴	۲۱۴۳۸۰	کریجینگ معمولی	کروی
۴۱/۸	۰/۴۱۸	۰/۵۸۱	۱۸۸۹۷۶	کریجینگ ساده	
۹۰/۱	۵/۷۸۸	۰/۶۲۳	۳۶۱۸	کریجینگ معمولی	نمای
۴۲/۱	۰/۴۳	۰/۵۹۲	۲۳۰۲۲۱	کریجینگ ساده	
۴۴/۵	۲/۷۴	۳/۴۱۵	۱۱۱۴۷	کریجینگ معمولی	گوسی
۴۴/۳	۰/۴۳۴	۰/۵۴۴	۱۳۴۵۰۷	کریجینگ ساده	

طبقه با نوع بارندگی فصلی شدید قرار می‌گیرد که نشانگر این است که بارندگی در طی سال پراکنش مناسبی ندارد و بی نظمی در بارش وجود دارد و کمتر از ۶ ماه پراکنش دارد اما به ۴ ماه نمی‌رسد. شکل ۳ نقشه فرسایندگی باران را با استفاده از شاخص فورنیه اصلاح شده و روش میان‌بابی کریجینگ ساده نوع گوسی نشان می‌دهد. دلیل انتخاب روش‌های زمین‌آماری به علت وابستگی مکانی بالای متغیرهای مورد بررسی بوده است. محمدی (۱۹) با استفاده از شاخص فورنیه نقشه فرسایندگی باران را برای کل کشور تهیه نموده است و نتایج این تحقیق حاکی از این مطلب است که بخش‌های میانی، شمال و شمال غربی کشور دارای شاخص فرسایندگی کمتری است. در عین حال شاخص فرسایندگی به سمت شمال و جنوب کشور افزایش می‌یابد.

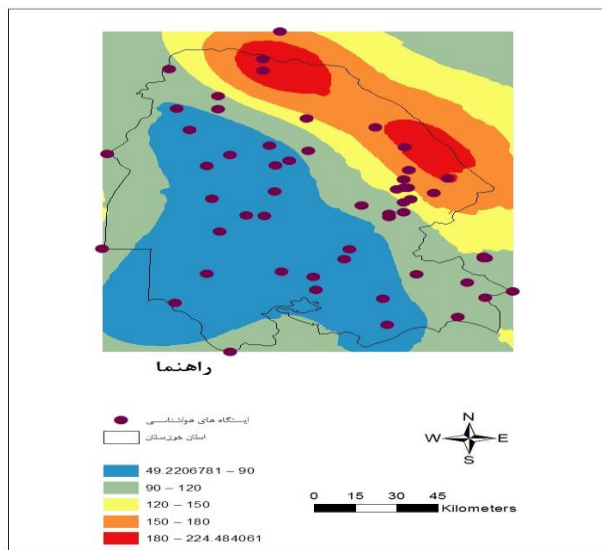
با توجه به نقشه بیشترین مقادیر فرسایندگی باران (شاخص MFI) در شمال شرق و شمال منطقه مورد مطالعه دیده می‌شود و کمترین مقادیر فرسایندگی در جنوب، جنوب غربی و کمی از مرکز استان خوزستان وجود دارد.

شاخص تمرکز بارندگی با استفاده از بهترین روش میان‌بابی که روش کریجینگ معمولی بود در محیط نرم افزار ARC GIS، میان‌بابی شد. نتایج حاصل از این تحقیق تایید کننده اهمیت استفاده از روش‌های مناسب میان‌بابی است. نتایج این تحقیق با ملو و همکاران (۱۸) و بهزادفر و همکاران (۴) که با استفاده از روش کریجینگ معمولی و کریجینگ ساده نقشه هم فرساینده را رسم نمودند، هم سویی دارد. تاج علی پور و همکاران (۲۵)، شش انجشت و همکاران (۲۳)، نورزاده حداد (۲۰) و گورتس (۱۲) نیز با بررسی روش‌های مختلف میان‌بابی روش کوکریجینگ را برای میان‌بابی شاخص‌های فرسایندگی مناسب تشخیص دادند. حکیم خانی و همکاران (۱۳) نیز روش کریجینگ را برای میان‌بابی شاخص فورنیه اصلاح شده و فورنیه مناسب تشخیص دادند. ری و همکاران (۲۲) برای ترسیم و توضیح تغییرات مکانی شاخص فورنیه اصلاح شده و شاخص تمرکز بارندگی PCI روش میان‌بابی کریجینگ را مورد استفاده قرار دادند.

شکل ۲ نشان می‌دهد که شاخص تمرکز بارندگی در محدوده استان خوزستان در طبقه ۲۰ تا ۵۰ متغیر است که در



شکل ۲- نقشه تغییرات مکانی شاخص تمکز بارندگی با استفاده از روش میان یابی کریجینگ معمولی
Figure 2. Spatial variation map of PCI using ordinary Kriging method



شکل ۳- نقشه تغییرات مکانی شاخص فورنیه اصلاح شده با استفاده از روش میان یابی کریجینگ ساده
Figure 3. Spatial variation map of MFI using simple Kriging method

کریجینگ معمولی از دقت بیشتری نسبت به سایر روش‌های میان یابی به ترتیب برای شاخص فورنیه اصلاح شده و تمکز بارندگی برخوردار است تایید حاصل از این تحقیق تایید کننده اهمیت استفاده از روش‌های مناسب میان یابی است.

بطور کلی روش‌های میان یابی بسته به نوع متغیر و همچنین ویژگی‌های منطقه مورد مطالعه، تراکم نقاط اندازه‌گیری و نحوه آرایش آنها، دقت متفاوتی را ارائه می‌کنند و نمی‌توان نتایج یک منطقه را به راحتی به منطقه‌ای دیگر تعمیم داد. لذا لازم است که برای هر منطقه و هر متغیر، بررسی‌های جداگانه انجام گرفته تا یک روش مناسب برای منطقه مورد نظر و پارامتر مورد بررسی حاصل گردد اما چنانچه یک مدل خاص برای چندین محل مناسب تشخیص داده شد، می‌توان نتیجه گرفت که آن مدل می‌تواند با اطمینان زیادی برای شرایط مشابه دیگر نیز، مورد استفاده

بررسی تغییرات مکانی خصوصیات بارندگی برای برنامه‌ریزی‌های آینده دارای اهمیت فراوانی می‌باشد. در این تحقیق با استفاده از روش‌های زمین‌آماری و قطعی پهنه‌بندی شاخص‌های تمکز بارندگی و فورنیه اصلاح شده برای بررسی تغییرات مکانی با درنظر گرفتن دوره آماری سال تاسیس تا سال ۱۳۹۳ انجام شده است. برای نیل به این هدف، ابتدا نرمال بودن داده‌ها مورد بررسی قرار گرفت. نتایج نشان داد که توزیع داده‌ها نرمال می‌باشد. بعد از تشخیص تناسب داده‌ها، روش‌های زمین‌آماری و قطعی با در نظر گرفتن توابع مختلف در هر یک از روش‌ها، ارزیابی شد و در نهایت براساس روش ارزیابی متقابل و معیارهای ارزیابی ریشه میانگین مربع خطای (RMSE) و میانگین قدر مطلق خطای (MAE)، روش و تابع مناسب انتخاب شد. از بین روش‌های میان یابی زمین‌آماری و قطعی استفاده شده در این تحقیق، روش کریجینگ ساده و

فورنیه اصلاح شده و تهیه نقشه طبقه‌بندی این شاخص با استفاده از روش کریجینگ ساده نشان داد که مقدار این شاخص در محدوده استان خوزستان بین ۴۹ تا ۲۲۴ متری است و این محدوده نشانگر فرسایندگی خیلی کم تا زیاد است. نقشه فرسایندگی باران با استفاده از شاخص فورنیه اصلاح شده نشان می‌دهد که بیشترین مقادیر فرسایندگی باران (شاخص MFI) در شمال شرق و شمال منطقه مورد مطالعه دیده می‌شود و کمترین مقادیر فرسایندگی در جنوب، جنوب غربی و مرکز استان خوزستان وجود دارد. مناطق شمال شرقی و شمالی خوزستان به دلیل بارندگی بیشتر، دارای مقدار فرسایندگی باران بیشتری نسبت به سایر نقاط استان خوزستان هستند.

واقع شود.

نتایج بررسی شاخص تمکز بارندگی و نقشه طبقه‌بندی این شاخص نشان داد که بارندگی در استان خوزستان فصلی شدید بوده و بارندگی محدود به چند ماه خاص می‌گردد و مقدار شاخص تمکز بارندگی از ۳۱ تا ۲۰ متغیر است.

نقشه تغییرات مکانی شاخص تمکز بارندگی معمولی نشان می‌دهد که بیشترین مقادیر شاخص تمکز بارندگی (PCI) در جنوب منطقه مورد مطالعه دیده می‌شود که شامل مناطق گرم و خشک می‌شود و کمترین مقادیر در شمال شرق استان خوزستان وجود دارد که به خاطر بارندگی بیشتر و اقلیم نیمه خشک است.

بررسی شاخص فرسایندگی باران با استفاده از شاخص

منابع

1. Abd Elbasit, M.A.M., H. Yasuda, A. Salmi and H. Anyoji. 2010. "Characterization of rainfall generated by dripper-type rainfall simulator using piezoelectric transducers and its impact on splash soil erosion," *Earth Surface Processes and Landforms*, 35(4): 466-475.
2. Apaydin, H., G. Erpul, I. Bayramin and D. Gabriels. 2006. Evaluation of indices for characterizing the distribution and concentration of precipitation: A case for the region of Southeastern Anatolia Project, Turkey, *Journal of Hydrology*, 328: 726-732.
3. Arnaldus, H.M. 1980. An approximation of the rainfall factor in the Universal Soil Loss Equation. In Assessments of Erosion, de Boodts M, Gabriels D (eds). John Wiley and Sons Ltd, Chichester, 127-132.
4. Behzadfar, M., H. Hassanzadeh and M. Saberi. 2009. Study erosivity index of Fournier in North Khorasan Province. Fifth National Conference on Science and Watershed Engineering of Iran, Gorgan (In Persian).
5. Ceballos, A., J. Martinez- Fernandez and M.A. Luengo- Ugidos. 2004. Analysis of rainfall trends and dry periods on a pluviometric gradient representative of Mediterranean climate in the Duero Basin, Spain. *Journal of Arid Environments*, 58: 214-232.
6. Daniela, S. and N. Stelian. 2012. The intra-annual and seasonal regime of precipitationin Targu Jiu depressin (Gorjului Subcarpathians) over the 1961-2007 period, *Fascicula Protec ia Mediului*, 18: 476-484.
7. De Luis, M., J.C. Gonzalez-Hidalgo, and L.A. Longares. 2009. Is rainfall erosivity increasing in the Mediterranean Iberian Peninsula?. *Land Degradation Development*, 21: 139-144, doi:10.1002/lrd.918, 2010b.
8. De Luis, M., J. González-Hidalgo, M. Brunetti and L.A. Longares. 2011. Precipitation concentration changes in Spain 1946–2005. *Natural Hazards and Earth System Sciences*, 11: 1259-1265, 2011,doi:10.5194/nhess-11-1259-2011
9. De Luis, M, M.F. Garcí'a-Cano, J. Cortina, J. Ravento's, J.C. Gonza'lez-Hidalgo and J.R. Sa'nchez, 2001. Climatic trends, disturbances and short-term vegetation dynamics in a Mediterranean shrubland. *Forest Ecology and Management*, 147: 25-37.
10. Everson, C.S. 2001. The water balance of a first order catchment in the montane grasslands of South Africa. *Journal of Hydrology*, 241: 110-123.
11. Ghennim, A.N. and A. Megnounif. 2016. Spatial distribution and temporal trends in daily and monthly rainfall concentration indices in Kebir-Rhumel Watershed. *Larhyss Journal*, 26, 85-97.
12. Goovaerts, P. 1999.Using elevation to aid the geostatistical mapping of rainfall erosivity. *Catena*, 34: 227-242.
13. Hakimkhani, S.H., M.M. Mahdian, M. Arab Khedri and D. Ghorbanpour, 2005. Rainfall erosivity on a nationwide survey using Modified Fournier. Third National Seminar on Sediment, Soil Conservation and Watershed Management Research Center, 281-288 (In Persian).
14. Hasani Pak, A. 2013. Geostatistics. Tehran University Press, 314 (In Persian).
15. Khalili, K., M. Nazeri Tahrudi and F. Ahmadi. 2015. Application of PCI Index in the Annual and Seasonal Rainfall Pattern Investigation and Trend Analysis of Iran Duration the Recent Half Century. *Iranian Journal of Irrigation and Drainage*, 9(1): 195-208 (In Persian).
16. Klemes, V. 1973. Application of hydrology to water resource management. World Meteorological Organization, Geneva
17. Koren, V.I., B.D. Finnerty, J.C. Schaake, M.B. Smith, D.J. Seo and Q.Y. Duan. 1999. Scale dependencies of hydrologic models to spatial variability of precipitation, *Journal of Hydrology*, 217: 285- 302.
18. Mello, C.R., M.R. Viola, S. Beskow and L.D. Norton. 2013. Multivariate models for annual rainfall erosivity in Brazil. *Geoderma*, 202-203: 88-102.
19. Mohammadi, J. 1998. Rain erosivity map production using Fournier index and kriging method. *Agricultural Sciences and Natural Resources Journal*, 3(4): 35-44 (In Persian).

20. Nourzadeh Haddad, M. 2013. Investigating the rainfall erosivity Index using geostatistics. *International Journal of Agronomy and Plant Production*, 4(11): 2816-2821.
21. Oliver, JE. 1980. Monthly precipitation distribution: A comparative index. *Professional Geographer*, 32: 300-309.
22. Rey, J.C., M.F. Rodriguez, A. Cortez, D. Lobo, F. Ovalles, D. Gabriels and R.M. Parra. 2012. Analysis of precipitation aggressiveness and concentration in Venezuela. Los Andes Region. *Bioagro* 24 (2): 115-120.
23. Shesh Angosht, S., A. Alimohammadi and M.J. Soltani. 2005. Geostaistics Models Evaluation in GIS for Erosivity Map Providing in Latian Watershed, 84 Geographical Information System Conference, National Cartographic Center of Iran, 113-123 (In Persian).
24. Shi,P., M. Wu, S. Qu, P. Jiang, X. Qiao, X. Chen, M. Zhou and Z. Zhang. 2015. Spatial Distribution and Temporal Trends in Precipitation Concentration Indices for the Southwest China. *Water Resources Management Journal*, 29(11): 3941-3955.
25. Taj Ali Pour, Z., M.H. Mahdian, A. Pazira and M. Heidarizadeh. 2009. Spatial Variations Investigation of Erosivity Index in Daryache Namak Watershed, 11th Soil Science Conference of Iran,Gorgan, pp: 43-47 (In Persian).
26. Winchell, M., V.H. Gupta and S. Sorooshian. 1998. On the simulation of infiltration and saturation excess runoff using radar based rainfall estimates: effects of algorithm uncertainty and pixel aggregation. *Water Resources Research*, 34: 2655-2670.

Investigation of Spatial Variability of Precipitation Concentration and Rainfall Erosivity Indices in Khuzestan Province

Hossein Eslami

Department of Water Engineering, Shoushtar Branch, Islamic Azad University, Shoushtar, Iran

(Corresponding Author: eslamyho@gmail.com)

Received: July 26, 2016

Accepted: September 5, 2017

Abstract

Rainfall variability and its impact on water resources are important climatic issues. Intra-annual variations in rainfall are characterized as precipitation concentration index (PCI). Another feature that directly correlates with the concentration of precipitation is the rain erosivity (Modified Fournier Index MFI). The aim of this study is to investigate the PCI and MFI indices and map their spatial variations. The Modified Fournier and precipitation Concentration indices were calculated using rainfall data from 55 meteorological stations located in Khuzestan province. To produce the spatial variations map, point information is converted to regional using geostatistical and deterministic methods. The results indicated that the ordinary and simple Kriging with Gaussian type have highest accuracy for interpolation of the PCI and MFI indices, respectively. According to the spatial variation map of the PCI, the highest values of that index are seen in the southern region and the lowest values are in the north and northeast of the Khuzestan province. The PCI values ranged between 20 and 31 indicating severe seasonality. The MFI values vary from 49 to 224 in which the highest values are for the northeast region of the province and the lowest ones are for the south and southwest zones. Generally Rainfall limited in a certain months.

Keywords: Geostatistics, Interpolation, Precipitation Concentration, Modified Fournier